

## **Investigating the phenology changes of three plant species in different ecosystems using radar and optical data**

Morteza Sharif<sup>1</sup>, Sara Attarchi<sup>2\*</sup>, Ataollah Abdollahi Kakroudi<sup>3</sup>.

1- M.Sc. Student in Remote Sensing and GIS, University of Tehran, Tehran, Iran

2- Associate Professor Department of Remote Sensing and GIS, University of Tehran, Tehran, Iran

3- Associate Professor Department of Remote Sensing and GIS, University of Tehran, Tehran, Iran

**Received: 28 December 2021**

**Accepted: 27 April 2022**

### **Extended Abstract**

#### **Introduction**

The Earth's ecosystems play an important role in regional and global climate. Most natural vegetation covers change through the year- as they are influenced by the seasons. In vegetation studies, different types of remote sensing images such as optics and synthetic aperture radar (SAR) have been used in different scales from leaf area to global scale. These images provide data that is difficult to access through other methods such as field surveys. Remote sensing sensors capture images from the Earth surfaces with an adequate spatial and temporal resolution for the environmental studies. In remote sensing approaches, the study of the phenological cycle (the study of plant life cycles and the way it is affected by weather) is mainly based on changes in reflectance values in different spectral bands of optic sensors or vegetation indices (VI), such as normalized difference vegetation index (NDVI), enhanced vegetation index (EVI), and soil-adjusted vegetation index (SAVI). Spectral indices have been widely used to monitor the seasonal cycle of vegetation photosynthesis over the past decades. Many of these studies have reported promising results. SAR systems can capture images in all weather conditions and overcome the limitation of optic sensors in cloudy weather. Increased access to SAR images broadens the image application in vegetation studies. SAR sensors operate at a microwave range of electromagnetic spectrum and are able to penetrate more in vegetation canopy. In this study, the efficiency of Landsat 8, Sentinel-2, and Sentinel-1 images in monitoring vegetation phonological cycle have been verified. For that, three regions with different vegetation types including mangrove forests, woodland, and Shadegan date palms in Iran have been studied.

#### **Methodology**

All available Landsat 8, Sentinel-2, and Sentinel-1 images in 2017 have been acquired. The Landsat 8 and Sentinel-2 images have been pre-processed. NDVI, EVI, and SAVI have been calculated from corresponding optical bands. Field survey was not possible at the study areas, therefore, sample points have been chosen by the help of high-resolution Google Earth images. For that, archive Google Earth images with the acquisition date close to the acquisition date of images have been used to confirm the presence the vegetation covers at the specific location. The NDVI, EVI, and SAVI values have been extracted in the location of sample points. The Sentinel-1 images have been processed; speckle effect has been minimized and radiometric

---

\*. Corresponding Author (Email: satarchi@ut.ac.ir)

Copyright © 2022 Journal of Physical Geography Research. This is an open-access article distributed under the terms of the Creative Commons Attribution- noncommercial 4.0 International License which permits copy and redistribute the material just in noncommercial usages provided the original work is properly cited.

terrain corrections have been implemented by means of digital elevation model (DEM). Median filter with 5\*5 window size has been applied. Median Filter has been chosen, because it is not affected by very high or low DN values and it is one of the efficient filter in minimizing speckle effect in SAR images. Then, digital number (DN) values have been converted into backscattering coefficient in dB. Backscattering responses in VV (vertical-vertical) and VH (vertical-horizontal) polarimetric bands have been extracted at the same sample location. The extracted NDVI, EVI, SAVI, VH, and VV values on different days of the year (DOY) have been separately analyzed for each study site.

### Results and discussion

In woodlands, EVI and SAVI indices in comparison to NDVI are more compatible with natural phenological cycles. However, optical images were not available for the whole year, therefore the changes of optical indices cannot be surveyed completely over the year. The changes of backscattering values follow the natural trend of vegetation cover, however, optical indices match better with the natural cycle. The growth cycle of woodlands is affected by temperature and rainfall variation; therefore, it will change in different years.

The changes in spectral curves in date palms show that spectral indices present the initial steps of the growth cycles better than the final steps. Few optical images were available because there was cloud cover in this area. Spectral indices do not follow the last stages of natural phenological cycles. In this stage, backscattering values increase due to the increased volume scattering of the trees, therefore radar images are more efficient in presenting the last part of phenological cycles of date palms in comparison to optical images. Spectral indices are sensitive to the greenness of the leaves; in this stage, no substantial changes in vegetation greenness occur, therefore the spectral indices do not change accordingly.

Mangrove forests have specific phenological cycles and are affected more by environmental conditions. Both spectral indices and backscattering values follow the natural trend of this kind of vegetation.

VH backscattering values are more compatible with spectral indices in comparison to VV backscattering values. Spectral indices and VH backscattering values follow the natural seasonal changes of vegetation especially in deciduous vegetation such as woodlands. This matches with previous studies. The highest values of backscattering are observed in the time that vegetation cover reaches the highest amount of biomass. EVI and SAVI trends are more similar to the backscattering values trend in comparison to NDVI values. This study only considers images captured during one year (2017). Vegetation cover is influenced by seasonal, gradual, and sudden changes, therefore monitoring of vegetation in a longer period and shorter revisit time will provide complete monitoring of vegetation growth cycles.

### Conclusion

Backscattering values in the cross-polarized VH (in comparison to the VV band) band show more sensitivity to vegetation changes over the year and are therefore more suitable for monitoring the annual growth cycle of plants. Among the optics indices, EVI and SAVI have shown more acceptable results since their variations are more consistent with the natural phenological cycle. In an aquatic ecosystem where mangrove forest grows, SAR responses show promising results as they can better represent the phenological cycle in comparison to spectral reflectance or vegetation indices. The results of this study show that backscattering responses at C-band follow the natural vegetation's phenological cycle and can be used in vegetation monitoring in these three ecosystems. The results of this study can be further used to identify vegetation phenological stages in similar ecosystems. Additional studies are necessary to generalize these results to other areas.

**Keywords:** Sentinel-1, OLI, phenology, vegetation.

## بررسی تغییرات فنولوژی پوشش گیاهی در سه اکوسیستم مختلف با استفاده از تصاویر راداری و اپتیک

مرتضی شریف<sup>۱</sup> – دانشجوی کارشناسی ارشد سنجش از دور و GIS، دانشگاه تهران، تهران، ایران

سارا عطارچی<sup>۱</sup> – استادیار گروه سنجش از دور و GIS، دانشگاه تهران، تهران، ایران

عطا‌الله عبداللهمی کاکروdi<sup>۲</sup> – دانشیار گروه سنجش از دور و GIS، دانشگاه تهران، تهران، ایران

تاریخ پذیرش: ۱۴۰۱/۰۲/۰۷

تاریخ دریافت: ۱۴۰۰/۱۰/۰۷

### چکیده

امروزه، تصاویر ماهواره‌ای فرصتی کمنظیر در بررسی تغییرات فنولوژی پوشش‌های گیاهی فراهم کرده است. تحقیق حاضر با هدف بررسی کارایی تصاویر رadar قطبی سنتینل-۱ در دو قطبش VV و VH و تصاویر اپتیک (لندست-۸ و سنتینل-۲) برای پایش تغییرات فنولوژی گیاهی بر روی سه منطقه با شرایط محیطی و اکوسیستمی مختلف در جنوب و جنوب غرب ایران (نخل‌های منطقه شادگان، جنگل‌های حراء و بیشه‌زار) در سال ۲۰۱۷ انجام گرفته است. نتایج تحقیق حاضر نشان داد که شاخص‌های طیفی گیاهی بهتر از ضرایب بازپخش راداری چرخه فنولوژی و پویایی فصلی پوشش‌های گیاهی را نمایش می‌دهند. اما، در عین حال، ضرایب بازپخش VH در قطبش VV نیز قابلیت مناسبی برای پایش تغییرات گیاهان نشان می‌دهد. تغییرات قطبش VH نسبت به قطبش VV با تغییرات شاخص‌های گیاهی شامل EVI، SAVI، NDVI و EVI<sup>۱</sup> تطابق بیشتری دارد. نتایج همچنین بیانگر این مطلب است که شاخص SAVI و EVI نسبت به NDVI روند مراحل اولیه فنولوژیکی را برای بیشه‌زارها و نخل‌های شادگان به واقعیت زمینی نزدیک‌تر نشان می‌دهد. درصورتی که ضرایب بازپخش راداری در قطبش VH تصاویر سنتینل-۱ تغییرات سالیانه جنگل‌های حراء را در مقایسه با شاخص‌های پوشش گیاهی کامل‌تر نمایش می‌دهد. به طور کلی، می‌توان گفت، تصاویر راداری توانایی جای‌گزینی در شرایط در دسترس نبودن تصاویر اپتیک را دارند.

**واژگان کلیدی:** سنتینل-۱، لندست-۸، شاخص‌های پوشش گیاهی، EVI، SAVI

## مقدمه

اکوسیستم‌های مختلف کره زمین در تنظیم آب و هوای منطقه‌ای و جهانی نقش ویژه‌ای دارند (باروز و همکاران، ۲۰۱۱؛ هوانگ و همکاران، ۲۰۲۰). همچنان، اکوسیستم‌ها خود به علت تفاوت‌های آب و هوایی و پوشش‌های گیاهی شرایط متفاوتی دارند (هوانگ و همکاران، ۲۰۲۰؛ پیائو و همکاران، ۲۰۲۰). اغلب پوشش گیاهی محیط‌های طبیعی در طول سال با تأثیرپذیری از فصل‌ها تغییر می‌کنند (ریچاردسون و همکاران، ۲۰۱۸). این تأثیرات بسیاری از فرایندهای اکوسیستم گیاهی را تحت تأثیر قرار می‌دهد که تغییر در چرخه فنولوژیکی گیاهان از جمله این تغییرات است. چرخه فنولوژیکی پوشش‌های گیاهی واقع در عرض‌های جغرافیایی میانه تا عرض‌های بالا در پاسخ به این تغییرات آب و هوایی حساسیت زیادی از خود نشان می‌دهند (لو و همکاران، ۲۰۱۸؛ بویتنورف و همکاران، ۲۰۱۵؛ پیائو و همکاران، ۲۰۲۰). در اقلیم‌های مختلف چرخه فنولوژیکی گیاهان تحت تأثیر عوامل مختلف متفاوت دچار تغییر می‌شود. در اقلیم‌های خشک و نیمه‌خشک تغییرات میزان آب در دسترس گیاه مهم‌ترین عاملی است که زمان وقایع فنولوژیکی گیاهان را تعیین می‌کند (کریستیان و همکاران، ۲۰۱۵؛ فرانکی و همکاران، ۱۹۷۴؛ ریچ و بورچارت، ۱۹۸۴؛ مورفی و لیاگو، ۱۹۸۶). در مطالعات پوشش گیاهی از انواع متفاوت تصاویر سنجش از دور اپتیک و رادار قطبی در مقیاس‌های مختلف از سطح برگ تا مقیاس جهانی استفاده شده است (فیلد و همکاران، ۱۹۹۵؛ چمبرز و همکاران، ۲۰۰۷؛ لی و همکاران، ۲۰۰۷؛ لی و همکاران، ۱۹۹۵؛ زیرا این تصاویر داده‌هایی فراهم می‌کنند که دستیابی به آن از طریق روش‌های دیگر دشوار و مستلزم صرف هزینه و زمان زیادی است (فیلد و همکاران، ۱۹۹۵؛ لی و همکاران، ۲۰۰۰). توسعه سنجنده‌های راداری و افزایش دسترسی به این تصاویر سبب استفاده روزافزون در مطالعات پوشش‌های گیاهی شده است. سنجنده‌های رادار قطبی دو برتری عمده نسبت به سنجنده‌های اپتیک دارند: اول آنکه این سنجنده‌ها به دلیل فعالیت در طول موج بلندتر نسبت به محدوده مرئی طیف الکترومغناطیس قابلیت نفوذ<sup>۱</sup> بیشتری در تاج پوشش گیاهی دارند (فلورس اندرسون و همکاران، ۲۰۱۹)؛ در نتیجه بسته به طول موج اطلاعات کامل‌تری از ساختار پوشش‌های گیاهی را ثبت می‌کنند. علاوه بر این، این سنجنده‌ها قادرند در شب و همچنین شرایط ابری و مه از سطح زمین تصویربرداری کنند (ریچاردز، ۲۰۰۹). از این رو، تصاویر راداری ویژگی‌های متفاوتی از پوشش گیاهی در مقایسه با تصاویر اپتیک ارائه می‌کنند (اشلوند و ایراسمی، ۲۰۲۰). میزان بازپخش<sup>۲</sup> ثابت شده از پوشش گیاهی در این سنجنده‌ها به زاویه فرود، طول موج و قطبش سنجنده، نوع پوشش گیاهی و تراکم آن، ساختار حجمی تاج پوشش گیاهی، قطر برابر سینه<sup>۳</sup>، شاخص سطح برگ، وزیری و رطوبت گیاه و خاک بستگی دارد (جنسن، ۱۹۹۶). بیشتر مطالعاتی که در آن‌ها از تصاویر سنجش از دور در نظرارت بر چرخه فنولوژیکی گیاهان استفاده شده است مربوط به تصاویر اپتیک است (فیشر و همکاران، ۲۰۰۶؛ لیاچ و همکاران، ۲۰۱۹؛ تیان و همکاران، ۲۰۱۹؛ سونگ و وودکاک، ۲۰۰۳)، اما مطالعات کمی با استفاده از تصاویر رادار قطبی انجام گرفته است (پروسی و همکاران، ۲۰۰۰؛ روتسلچی و همکاران، ۲۰۱۸؛ فروشن و همکاران، ۲۰۱۸؛ اشتاین داردی و همکاران، ۲۰۱۹؛ هو و همکاران، ۲۰۲۰). این مطالعات محدود بوده و ضروری است. باید کاری این تصاویر در پایش چرخه فنولوژی انواع متفاوت پوشش گیاهی بررسی شود. در رویکردهای مبتنی بر تصاویر اپتیک، مطالعه چرخه فنولوژی عمدهاً بر مبنای تغییرات مقادیر بازتاب در باندهای مختلف طیفی یا بر اساس شاخص‌های گیاهی (VI)، نظیر LAI، EVI و NDVI قرار دارد (هلمن، ۲۰۱۸). از شاخص‌های طیفی برای نظرارت بر چرخه فصلی تغییرات پوشش گیاهی طی دهه‌های گذشته بسیار استفاده شده است و بسیاری از این

1 Penetration

2 Backscatter

3 Diameter at Breast Height (DBH)

4 Vegetation Index

5 Leaf Area Index

6 Enhanced Vegetation Index

مطالعات نتایج مناسبی از کاربرد شاخص‌های طیفی در پایش پوشش‌های گیاهی و تغییرات فنولوزیکی آن‌ها گزارش کرده‌اند (لو و همکاران، ۲۰۱۸). در مطالعات زیادی از محصولات جهانی مودیس برای بررسی چرخه‌های فنولوزیک گیاهان استفاده شده است (کریستیان و همکاران، ۲۰۱۵؛ هیوته و همکاران، ۲۰۰۲). در بسیاری از این تحقیقات، از تغییرات شاخص‌هایی نظیر پوشش سطح برگ و شاخص فنولوزیک گیاه (PPI) برای تفکیک تغییرات فصلی پوشش‌های گیاهی استفاده شده است (جين و اکلاند، ۲۰۱۴؛ وانگ و همکاران، ۲۰۱۷؛ يانگ و همکاران، ۲۰۱۹). در مطالعه‌ای که وانگ و همکاران (۲۰۱۷) انجام دادند نشان داده شد رابطه NDVI-LAI با تغییرات فنولوزیکی درختان هماهنگ است که با توجه به نوسانات شرایط محیطی به صورت فصلی تغییر می‌کند. همچنین، اشاره شد NDVI پایدارترین شاخص گیاهی برای برآورد LAI است و نسبت به تغییر محتوا کلروفیل حساس است (کیانو و همکاران، ۲۰۱۹). با وجود این، استفاده از تصاویر اپتیک دارای محدودیت‌هایی همچون وجود ابر و مه است. برای غلبه بر این محدودیت تصاویر اپتیک، استفاده از تصاویر رادار قطبی مهم است. این تصاویر به ساختار پوشش گیاهی حساس‌اند (روتسچی و همکاران، ۲۰۱۸) و می‌توانند مکمل تصاویر اپتیک باشند. از جمله سنجنده‌های راداری که در پایش چرخه فنولوزیکی گیاهان طی سال‌های اخیر مورد استفاده قرار گرفته می‌توان به سنتینل-۱ اشاره کرد (والاس و همکاران، ۲۰۲۰؛ بازی و همکاران، ۲۰۱۹). نتایج بیشتر این مطالعات نشان دهنده حساسیت بالای قطبش VH به تغییرپذیری پوشش‌های گیاهی خزان‌بزیر است (روتسچی و همکاران، ۲۰۱۸؛ فروشن و همکاران، ۲۰۱۸).

تاکنون کارایی تصاویر رادار قطبی در بررسی تغییرات فنولوزیکی در اکوسیستم‌های گیاهی مختلف ایران بررسی نشده است. با توجه به پهنه سرزمینی ایران و گستره پوشش گیاهی که شرایط رویشی مختلفی دارند، بررسی تغییرات چرخه فنولوزی انواع اکوسیستم‌های گیاهی حائز اهمیت است. با درنظرگرفتن انواع متفاوت تصاویر ماهواره‌ای و چرخه فنولوزی متفاوت انواع پوشش‌های گیاهی ضروری است توانایی و کارایی هر کدام از انواع متفاوت سنجنده‌ها در پایش تغییرات فنولوزی گیاهان بررسی شود. از این رو، هدف اصلی این مطالعه ارزیابی و مقایسه توانایی تصاویر رادار قطبی سنتینل-۱ و تصاویر اپتیک ماهواره‌های سنتینل-۲ (سنجنده<sup>۱</sup> MSI) و لندست-۸ (سنجنده<sup>۲</sup> OLI) در پایش چرخه فنولوزیکی سه نوع پوشش گیاهی است، که از لحاظ شرایط اکوسیستمی، ساختار تاج پوشش گیاهی، و ارتفاع درختان متفاوت‌اند. جنگلهای حرا، به عنوان پوشش گیاهی واقع در اکوسیستم ماندابی، شرایط ویژه‌ای دارند. تغییرات دو اکوسیستم ماندابی و خشکی، دمای هوا، و میزان آب تازه‌واردشده به محیط خاکی درختچه‌های مانگرو<sup>۳</sup> سبب پیچیدگی بررسی این نوع پوشش گیاهی می‌شود (زارع‌زاده مهریزی و همکاران، ۱۳۹۰؛ ونتر و همکاران، ۲۰۰۶؛ ژیانگ و همکاران، ۲۰۲۱). کاهش جریانات آبی و در نتیجه کاهش دسترسی به آب تازه به نرسیدن اکسیژن کافی به گیاه، القای تنفس شوری، و کمبود مواد غذایی منجر خواهد شد (الیسون و سایموندز، ۲۰۰۳؛ لوهلوك و همکاران، ۲۰۰۷؛ خویلی و خدر، ۲۰۰۷؛ نایدو، ۲۰۱۰). بررسی پاسخ طیفی و ضرایب بازپخش درختان نخل به دلیل ارتفاع بلند و فرم خاص تاج پوشش، با توجه به همیشه سبزبودن و همچنین نوع شاخ و برگ درختان نخل حائز اهمیت است. بیشمارها ترکیبی از گیاهان درختی و درختچه‌ای خزان‌بزیرند. متفاوت‌بودن چشم‌انداز طبیعی و ساختار رویشی این سه پوشش گیاهی امکان ارزیابی توانایی تصاویر ماهواره‌ای در مطالعه دوره فنولوزی گیاه و همچنین بررسی مقایسه کارایی آن‌ها در مناطق متفاوت را فراهم می‌کند. در این مطالعه، با استفاده از تصاویر ماهواره‌ای سنتینل-۱، لندست-۸ و سنتینل-۲، ارتباط دوره‌های فنولوزیکی گیاهان با تغییرات شاخص‌های طیفی و ضرایب بازپخش را داری این سه نوع پوشش گیاهی در دوره یک‌ساله (۲۰۱۷) بررسی شده

1 Plant Phenology Index

2 MultiSpectral Instrument

3 Operational Land Imager

4 Mangrow

است. برای رسیدن به این هدف، تصاویر موجود با حداقل فاصله زمانی نسبت به همدیگر تهیه شده‌اند. در برخی موارد ممکن است سه تا چهار روز اختلاف بین زمان اخذ تصاویر اپتیک و رادار وجود داشته باشد.

## مواد و روش‌ها

در این تحقیق از تصاویر سنتینل-۲ و لندست-۸ و تصاویر رادار قطبی سنتینل-۱ برای بررسی تغییرات فنولوژیکی در طول یک دوره یک‌ساله (۲۰۱۷) استفاده شده است (جدول ۳). ماهواره لندست ۸ شامل یک سنجنده در محدوده طیفی مرئی (OLI) و یک سنجنده در محدوده حرارتی (TIRS) طیف الکترومغناطیس است که از ۱۱ فوریه ۲۰۱۳ در مدار خود قرار گرفته است. تصاویر این ماهواره توسط سازمان زمین‌شناسی ایالات متحده امریکا (USGS)<sup>۱</sup> از طریق سایت خود قابل دسترسی است. تصاویر رایگان به کاربران ارائه می‌شود. سنتینل-۸ در ۲۳ ژوئن ۲۰۱۵ توسط MSI آژانس فضایی اروپا برای جمع‌آوری اطلاعات از سطح زمین در مدار زمین قرار گرفت. باندهای طیفی سنجنده سنتینل-۲ و نیز زمان گذر از خط استوا به گونه‌ای طراحی شده است تا با سری تصاویر لندست هماهنگی داشته باشد. ماهواره سنتینل-۱ (A1) در تاریخ ۳ آوریل ۲۰۱۴ توسط آژانس فضایی اروپا به فضا پرتاب شده است. سنتینل-۱ در باند C در طول موج ۵۴۰۵ گیگاهرتز و در دو پولاریزه (VH, VV) تصویربرداری می‌کند (وانگ و همکاران، ۲۰۱۹). این تصاویر در مدل IW<sup>۲</sup> (برای هر ماه یک تصویر، در نزدیکترین زمان تصویربرداری به سنجنده OLI) برای سه منطقه مورد مطالعه از سایت www.search.asf.alaska.edu دریافت و پردازش شده است (جدول ۱).

جدول شماره ۱. زمان اخذ تصاویر مورد استفاده

Sensor	تاریخ تصویربرداری سنجنده (۲۰۱۷)									
	بیشتر از			نخل‌های شادگان			جنگل‌های حرا			
	S1	S2	OLI	S1	S2	OLI	S1	S2	OLI	-
Jan	۵	۳	۵	۵	۱۳	۵	۲	۱۴	-	
Feb	۵۳	۵۳	۵۳	۴۱	۵۳	۵۳	۴۳	-	۵۰	
Mar	۷۷	۷۳	۶۹	۷۷	۶۳	۶۹	۶۲	-	۶۶	
Apr	۱۰۱	۱۱۶	-	۱۱۸	۱۰۳	-	۹۵	۱۰۴	۱۴۴	
May	۱۲۵	۱۴۳	۱۴۹	۱۲۵	۱۳۳	۱۳۳	۱۲۲	۱۴۴	۱۳۰	
Jun	۱۶۱	۱۵۳	۱۶۵	۱۶۶	۱۷۶	۱۶۵	۱۶۳	۱۶۴	۱۶۲	
Jul	۱۹۷	۱۹۳	۲۰۴	۱۹۰	۱۹۸	۱۹۷	۱۹۴	۲۰۴	۲۱۰	
Aug	۲۳۳	۲۳۳	۲۲۹	۲۲۶	۲۱۳	۲۲۹	۲۳۰	۲۲۴	۲۲۶	
Sep	۲۵۷	۲۵۳	۲۶۸	۲۵۰	۲۶۳	۲۶۱	۲۵۴	۲۶۴	۲۵۸	
Oct	۲۸۱	۲۸۳	۲۷۷	۲۸۶	۲۹۳	۲۹۳	۲۷۶	۲۹۹	۲۷۴	
Nov	۳۲۹	۳۳۳	۲۲۲	۳۲۹	۳۲۱	-	۳۲۶	۳۱۹	۳۲۲	
Dec	۳۴۷	۳۴۸	۳۴۸	۳۵۸	۳۴۳	-	۳۳۸	۳۴۴	۳۳۸	
Source	USGS, ESA									

## پیش‌پردازش تصاویر

مقادیر اعداد رقومی لندست-۸ و سنتینل-۲ با استفاده از تصحیح اتمسفری به بازتاب سطح تبدیل شدند. پیش‌پردازش‌های تصاویر سنتینل-۱ شامل تصحیح توپوگرافی با استفاده از مدل رقومی ارتفاعی هر منطقه و

1 Thermal Infrared Sensor

2 U.S. Geological Survey

3 Interferometric Wide swath

است. با توجه به اينكه در تصاویر راداري اثر اسپکل  $VH$  و  $VV$  کالibrه کردن و کاهش اثرات اسپکل در هر دو قطبش يكی از چالش‌های جدی بهشمار می‌رود، از این رو کاهش آن ضروری است. در این مطالعه از فیلتر میانه با اندازهٔ پنججره  $5 \times 5$  برای به حداقل رساندن اثر اسپکل استفاده شد. فیلتر میانه تحت تأثیر اعداد بسیار بزرگ یا کوچک قرار نمی‌گیرد و پس از اعمال، عدد جدیدی ایجاد نمی‌کند و از فیلترهای پُرکاربرد در این زمینه است (Bikouit، ۲۰۱۰). سپس، اعداد (تبديل شد (شيمادا و همكاران، ۲۰۱۴). dB) رقومی با استفاده از رابطهٔ ۱، به ضرایب بازپخش در واحد دسی بل ( $\sigma^{\circ}(dB) = 10 \times \text{Log10}(DN)$ )

رابطهٔ ۱

که  $\sigma^{\circ}$  مقدار ضریب بازپخش در باندهای  $VH$  و  $VV$  سنجندهٔ سنتیل-۱ است.

### شاخص‌های گیاهی

در اين تحقیق از پُرکاربردترین شاخص‌های پوشش گیاهی شامل شاخص پوشش گیاهی تفاضلی نرمال‌شده گیاهی (NDVI)، شاخص پوشش گیاهی تعديل‌کننده اثر خاک (SAVI) و شاخص پوشش گیاهی بهبودیافته (EVI) که به ترتیب از طریق معادله‌های ۲، ۳، و ۴ محاسبه می‌شوند، استفاده شده است. این شاخص‌ها در مطالعات گذشته در مناطق مختلف جغرافیایی کارایی مناسبی در پایش چرخهٔ فنلوزیکی گیاهان داشته‌اند (هیوته و همکاران، ۲۰۰۲؛ لو و همکاران، ۲۰۱۸؛ بویتنورف و همکاران، ۲۰۱۵؛ کریستین و همکاران، ۲۰۱۵؛ پیائو و همکاران، ۲۰۲۰). NDVI یکی از شاخص‌های گیاهی مهم و پُرکاربرد برای پایش انواع پوشش‌های گیاهی در مقیاس‌های محلی، منطقه‌ای، و جهانی بهشمار می‌رود (هیوته و همکاران، ۲۰۰۲). همچنین، این شاخص برای مقایسهٔ تغییرات فصلی و بین سال‌های مختلف پوشش گیاهی در مناطق مختلف کرده زمین کاربرد دارد (پاتر و همکاران، ۱۹۹۹؛ هیوته و همکاران، ۲۰۰۲). شاخص NDVI اثر خاک پس‌زمینه را حذف می‌کند و با درنظرگرفتن فاکتور  $L$  برای حذف اثر پس‌زمینه نسبت به EVI دارای برتری است (هیوته، ۱۹۸۸؛ هیوته و لو ۱۹۹۴). همچنین، شاخص‌های SAVI و EVI نسبت به NDVI اشباع شده و تغییرات میزان کلروفیل گیاهان را بهتر نمایش می‌دهند (هیوته و همکاران، ۲۰۰۲؛ روچا و شاور، ۲۰۰۹؛ کریستین و همکاران، ۲۰۱۵). برای محاسبهٔ شاخص‌های گیاهی، از باندهای آبی، قرمز، مادون قرمز نزدیک لندست-۸، و سنتیل-۲ استفاده شده است.

$$\text{NDVI} = \frac{(\rho_{\text{NIR}} - \rho_{\text{Red}})}{\rho_{\text{NIR}} + \rho_{\text{Red}}} \quad \text{رابطهٔ ۲}$$

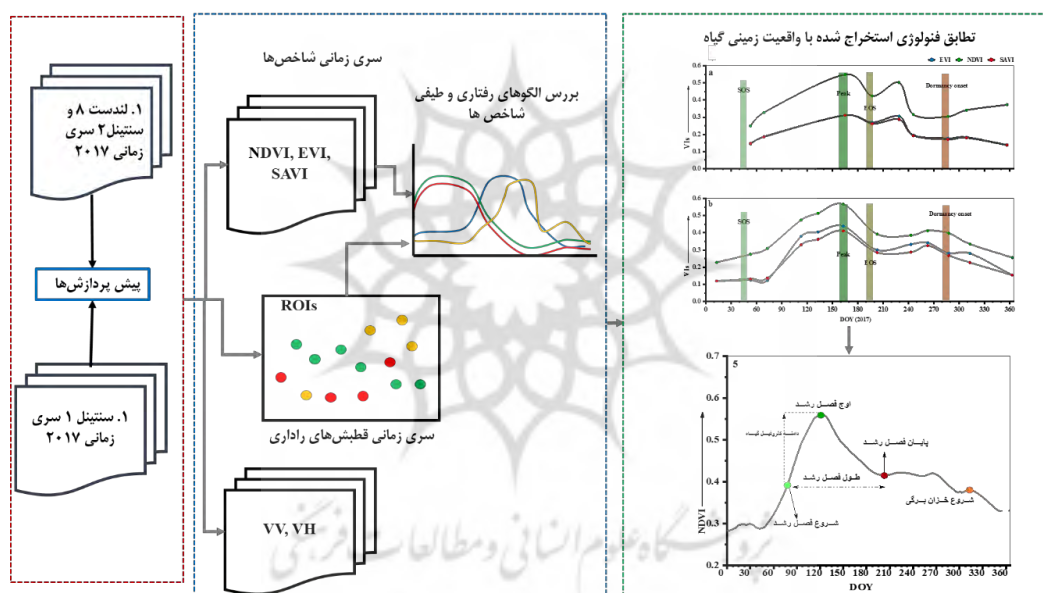
$$\text{SAVI} = \frac{(1+L) * (\rho_{\text{NIR}} - \rho_{\text{Red}})}{\rho_{\text{NIR}} + \rho_{\text{Red}} + L} \quad \text{رابطهٔ ۳}$$

$$\text{EVI} = 2.5 \times \frac{(\rho_{\text{NIR}} - \rho_{\text{Red}})}{\rho_{\text{NIR}} + C1 \times \rho_{\text{Red}} - C2 + \rho_{\text{Blue}} + L} \quad \text{رابطهٔ ۴}$$

که در هر سه رابطه، باندهای  $\rho_{\text{Blue}}$ ،  $\rho_{\text{Red}}$ ، و  $\rho_{\text{NIR}}$  به ترتیب بازتاب زمینی باندهای مادون قرمز نزدیک، قرمز، و آبی‌اند. در رابطهٔ ۳ پارامتر  $L$  برای کاهش تأثیر پس‌زمینه خاک استفاده شد (هیوته، ۱۹۸۸؛ هیوته و همکاران، ۲۰۰۲) که مقدار آن با توجه به میزان تراکم تاج پوشش گیاهی منطقه  $/5$  درنظر گرفته شده است. در رابطهٔ ۳ نیز ضرایب  $C1$ ،  $C2$ ، و  $L$  اصطلاح مقاومت در برابر آئروسل است که از باند آبی برای تصحیح اثرات آئروسل در باند قرمز استفاده می‌شود. مقادیر این ضرایب به ترتیب برابر  $6.7/75$ ،  $7/75$ ، و  $1$  است (هیوته و همکاران، ۱۹۹۷، ۲۰۲۰).

در شکل ۴ مراحل انجام تحقیق ارائه شده است. در مرحلهٔ اول، تصاویر ماهواره‌های لندست-۸، سنتیل-۲، و سنتیل-

۱ در فصل‌های مختلف سال تهیه شد. سپس، تصحیحات لازم بر روی هر تصویر صورت گرفت. در مرحله سوم، شاخص‌های پُرکاربرد گیاهی همچون NDVI، EVI، SAVI، و ضرایب بازپراکنش پوشش‌های گیاهی در دو قطبش VH و VV سنجنده سنتینل - ۱ در DOY‌های مختلف استخراج و جداگانه بررسی شد. برای بررسی روند تغییرات هر نوع پوشش گیاهی با توجه به اینکه نمونه‌های واقعیت زمینی در سال مورد مطالعه در دسترس نبود، این نمونه‌ها از طریق تصاویر آرشیوی Google Earth برای سال ۲۰۱۷ تهیه و بررسی شد. در بسیاری از مطالعات گذشته نشان داده شده است که تصاویر با قدرت تفکیک بالای Google Earth از دقت مکانی بالایی برخوردار است و می‌توان از آن‌ها جهت تعیین وضعیت پدیده‌ها استفاده کرد (پوتر، ۲۰۰۸؛ مونتسیانو و همکاران، ۲۰۰۹؛ کوهن و همکاران، ۲۰۱۰). از این رو، برای گیاهان بیشهزارها ۱۲۴۰، نخل‌های شادگان ۱۱۵۰، و جنگل‌های حرا ۱۳۰۰ نمونه واقعیت زمینی انتخاب شد. این نمونه‌ها همچنین با تصاویر زمینی موجود و شناخت میدانی نوبسندگان از دو منطقه بیشهزارها و نخل‌های شادگان تطابق داده شد. پراکندگی نمونه‌های تعلیمی در شکل ۳ قابل مشاهده است. درنهایت، چرخه فنولوژیکی به دست آمده در این تحقیق با واقعیت زمینی تطابق داده شد.



شکل ۲. فلوچارت تحقیق

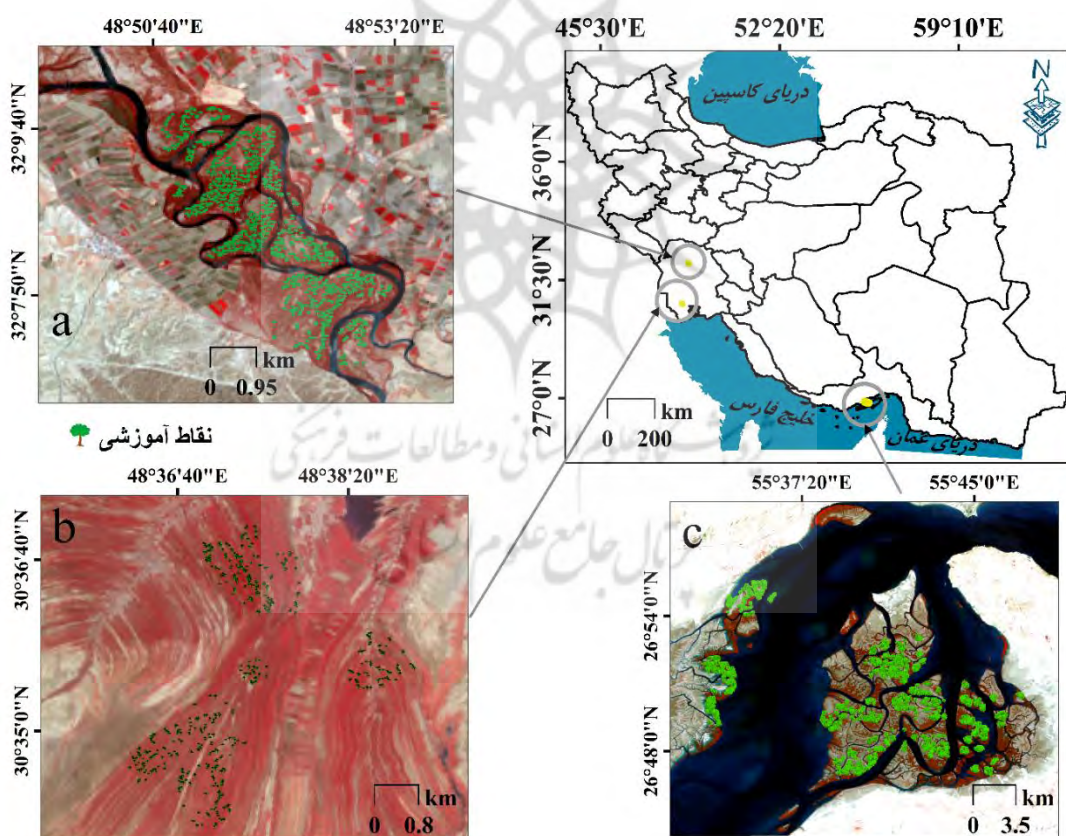
### محدوده مورد مطالعه

در این تحقیق، سه نوع پوشش گیاهی متفاوت مطالعه شده است: بیشهزارهای اطراف رودخانه کارون، جنگل‌های حرا، و نخل‌های اطراف تالاب شادگان. بیشهزارهای اطراف رودخانه کارون، به عنوان نمونه‌ای از پوشش‌های گیاهی خزان‌پذیر که تحت نام جنگل‌های کران رودی<sup>۱</sup> نیز از آن‌ها باد می‌شود (توز و همکاران، ۲۰۰۸؛ ترشکین، ۲۰۱۲؛ میائو و همکاران، ۲۰۲۰)، در عرض جغرافیایی ۳۲ درجه و ۵۰ دقیقه شمالی و ۴۹ درجه و ۵۶ دقیقه شرقی قرار دارند (شکل ۱ - a). از گونه‌های درختی در این اکوسیستم گیاهی می‌توان به درختان بید، درختچه گر، درخت سدر (با نام محلی کنار)، درختچه سریم وحشی، و بوته‌های جاز اشاره کرد. در شکل ۲ - a عکس‌های بازدید میدانی در روز ۱۵۲ سال (۲۰۲۰/۰۶/۰۱) ارائه شده است.

جنگل‌های حرا ای را مورد مطالعه در این تحقیق بین محدوده عرض جغرافیایی ۲۷ درجه و ۴۷ دقیقه شمالی و طول

جغرافيايی ۵۶ درجه و ۱۵ دقيقه شرقی در استان هرمزگان قرار دارند (شکل ۳-۳). جنگلهای حرا شامل گیاهان درختچه‌ای به نام مانگرو هستند که همیشه سبزند و ارتفاعی کمتر از یک متر دارند (دوک و همکاران، ۲۰۰۷؛ جيانگ و همکاران، ۲۰۲۱). اکوسیستم‌های گیاهی ساحلی، همچون مانگروها، به صورت دائمی در معرض تنش‌های چندگانه محیطی قرار دارند (ونتر و همکاران، ۲۰۰۶؛ جيانگ و همکاران، ۲۰۲۱). حرکت آب تازه به درون زیستگاه‌های رویشی درختچه‌های مانگرو مهم‌ترین برطرف کننده نیاز غذایی و همچنین اکسیژن مورد نیاز این نوع پوشش گیاهی به‌شمار می‌رود و نرسیدن آب تازه کافی سبب تنفس در پوشش درختچه‌ای مانگرو می‌شود (زارع‌زاده مهریزی و همکاران، ۱۳۹۰) (شکل ۴-۴).

از دیگر پوشش‌های گیاهی مورد مطالعه نخل‌های پیرامون تالاب شادگان در عرض ۳۱ درجه و ۵۸ دقيقه شمالی و ۴۹ درجه و ۵۷ دقيقه شرقی واقع در استان خوزستان هستند (شکل ۳-۴b). ويژگی‌های ساختاری آن‌ها (تاج همیشه سبز و ارتفاع آن‌ها) با سایر گیاهان متفاوت است. درختان نخل خزان‌پذیر نیستند، برگ‌های این درخت بین ۱ متر تا ۲ متر بزرگ می‌شود. در طول یک سال و حتی بیشتر از آن سبزینگی خود را حفظ می‌کنند. با رشد برگ‌های جدید، برگ‌های قدیمی‌تر را با هرس کردن از تاج نخل‌ها جدا می‌کنند. همچنین، ریزش برگ نخل‌ها بیشتر به صورت شاخه‌ای اتفاق می‌افتد و ممکن است به علت خشکیدگی بر اثر بیماری و شکستگی شاخ و برگ آن‌ها نیز رخ دهد (شکل ۴-۴b).



شکل شماره ۳. مناطق مورد مطالعه مربوط به پوشش گیاهی: (a) بیشه‌زارها، (b) نخل‌های دشت شادگان، (c) جنگلهای حرا، تصاویر رنگی کاذب لندست-۸ (RGB: NIR, Red, Blue)



شکل شماره ۴. عکس‌های میدانی از سه نوع پوشش گیاهی: (a) بیشهزارها، (b) نخل‌های دشت شادگان، (c) جنگل‌های حرا ( تصاویر فصل بهار )

#### شرایط آب و هوای مناطق مورد مطالعه

در تحقیق حاضر داده‌های هواشناسی مربوط به ایستگاه‌های زمینی با کمترین فاصله به مناطق مورد مطالعه از طریق سایت هواشناسی ایران (<https://data.irimo.ir>) دریافت شد (جدول ۲). دو ایستگاه هواشناسی مسجد سلیمان و صفائی‌آباد دزفول برای بیشهزارها، ایستگاه هواشناسی آبادان برای نخل‌های شادگان، و همچنین ایستگاه بندر لنگه برای جنگل‌های حرا انتخاب و داده‌های سال ۲۰۱۷ دریافت شد. متوسط بارندگی (سال ۲۰۱۷) در ایستگاه‌های صفائی‌آباد دزفول، مسجد سلیمان، آبادان، و بندرلنگه به ترتیب ۱۸۰، ۱۴۲، ۷۴، و ۲۳۵ میلی‌متر با بیشترین میزان بارش‌ها در DOY ۳۰ تا ۹۵ و همچنین DOY ۳۶۰ تا ۳۲۰ سال (فصل پاییز و اوخر زمستان) است. متوسط دمای سالانه آبادان ۲۶/۴، مسجد سلیمان ۲۵/۶، صفائی‌آباد دزفول ۲۴/۳، و بندر لنگه ۲۱ درجه سانتی‌گراد است (شکل ۵). دامنه تغییرات دمای هوا در ایستگاه بندر لنگه بین ۱۰ تا ۴۰ درجه سانتی‌گراد است و دمای سه ایستگاه دیگر بین ۵ تا ۴۵ درجه سانتی‌گراد در طول سال در نوسان است.

جدول شماره ۲. مشخصات ایستگاه‌های هواشناسی مورد استفاده

نام ایستگاه	ارتفاع از سطح دریا	طول جغرافیایی	عرض جغرافیایی
صفائی‌آباد (دزفول)	۸۲,۹	۴۸,۴۳	۳۲,۲۵
مسجد سلیمان	۳۲۰,۵	۴۹,۲۴	۳۱,۹۸
آبادان	۶	۲	۳۰,۳۸
بندر لنگه	۲۲۷	۵۴,۸۳	۲۶,۵۳

شكل شماره ۵. تغييرات دمای هوا و ميزان بارش در نزديک ترین ايستگاهها به مناطق مورد مطالعه (<https://data.irimo.ir>)

#### چرخه فنولوژيکی گياهان مورد مطالعه

چرخه فنولوژيکی هر کدام از انواع پوشش گياهی مورد مطالعه با استفاده از مطالعات ميدانی و بررسی تحقیقات گذشته نظیر مطالعه کوهپایه و همكاران (۲۰۱۹) برای درختان نخل، تحقیق یوسفی در سال ۱۳۹۲ برای درختان بید که از مهمنترین درختان بيشدزارها بهشمار می آيند و مقاله پاستر گوزمان و همكاران (۲۰۱۸) برای جنگلهای مانگرو تهيه شد (جدول ۳). در اين جدول پنج پaramتر اصلی در چرخه‌های فنولوژيکی گياهان ارائه شده است: شروع فصل رشد (SOS)، طول فصل رشد (LOS)، حداکثر مقدار كلروفيل گياه (Max Green) يا پيك<sup>۴</sup> كلروفيل گياه؛ پايان فصل رشد (EOS)<sup>۵</sup> گياه و در گياهان خزان‌پذير شروع خزان‌پذيری گياه (يا شروع خواب گياه)<sup>۶</sup> (کاي و همكاران، ۲۰۱۹؛ ژانگ و همكاران، ۲۰۱۸؛ کاي و همكاران، ۲۰۲۰؛ کانگ و همكاران، ۲۰۱۴).

در خوزستان، با توجه به شرایط آب و هواي، اکوسيسitem پوشش گياهان طبيعي در اوخر زمستان شروع به جوانه‌زندن می‌کند و تا خردادماه (ماه ژوئن) به حداکثر تراكم شاخ و برگ و ميزان سبزينگی خود مى‌رسند. اما با شروع فصل تابستان (ماه ژولاي) به دليل افزایش گرمای هوا ميزان سبزينگی و كلروفيل آن کاهش مى‌يابد. اين روند کاهشی تا اوخر شهریورماه ادامه مى‌يابد. از اوخر شهریورماه دوباره بعضی گياهان، به دليل افزایش ميزان رطوبت و خنكترشدن هوا، طی يك دوره حدوداً يك ماهه رشد اندکی پيدا مى‌کند. بدويهی است تغييرات شرایط آب و هواي سبب تغيير در دوره‌های رشد مى‌شود (کاي و همكاران، ۲۰۱۹). اما برای نخل‌ها، که از گياهان هميشه سبز بهشمار مى‌روند، اين چرخه فنولوژيکی متفاوت است با شروع سبزينگی گياه از اوخر نوامبر و اوج ميزان كلروفيل در اواسط تا اوخر فوريه (بهمن تا اوويل اسفند)

1 Start of green up season

2 Length of growing season

3 Time of maximum greenness

4 Peak

5 End of growing season

6 Dormancy onset

و پایان فصل رشد بین ماههای آوریل و می (فروردین تا اواخر اردیبهشت) (جدول ۳). درختچه‌های حرا نیز گرچه جزو گیاهان خزان‌پذیر به شمار نمی‌روند، با توجه به تنش‌های زیادی که در طول سال تجربه می‌کنند (زارع‌زاده مهریزی و همکاران، ۱۳۹۰؛ پاسترگوزمان و همکاران، ۲۰۱۸) دامنه تغییرات بالایی در طول سال دارند. دوره‌های انتقالی فصل رشد آن‌ها در جدول ۲ ارائه شده است.

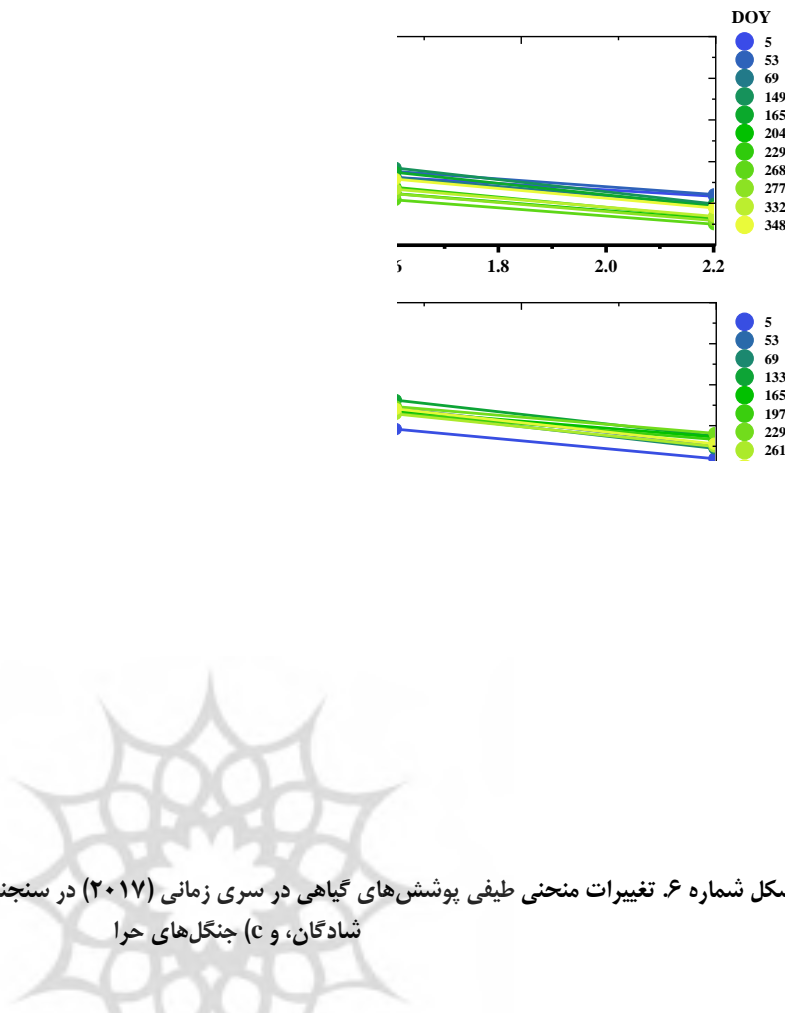
جدول شماره ۳. تقویم زمینی دوره‌های فنولوزی گیاهان مورد مطالعه

ماه	Jan	Feb	Mar	Apr	May	Jun	Jul	Aug	Sept	Oct	Nov	Dec
ten-day	E M L	E M L	E M L	E M L	E M L	E M L	E M L	E M L	E M L	E M L	E M L	E M L
بیشه زار		۱	۲	۳		۴	۵			۶		
نخل‌های شادگان	۲		۳	۴	۵			۱			۱	
درختچه‌های حرا		۴			۵				۲		۳	۴

### بحث و یافته‌ها

#### ارتباط تغییرات رفتار طیفی گیاهان با تغییرپذیری فصلی

در شکل ۶ منحنی بازتاب طیفی باندهای مختلف در طول یک سال برای گیاهان مورد مطالعه نمایش داده شده است. میزان بازتاب جنگل‌های حرا در محدوده مادون قرمز بیشتر از بازتابندگی درختان نخل و بیشه‌زارها مشاهده شد (شکل ۶-۶). در نخلستان‌ها، برای چرخه یک‌ساله، کمترین میزان تغییرات (حدود ۰/۰۷) نسبت به دو نوع پوشش گیاهی دیگر مشاهده شد (شکل ۶-۶b). سپس، بیشه‌زارها به دلیل خزان‌پذیری‌بودن و همچنین جنگل‌های حرا به دلیل تأثیرپذیری از جریانات جزر و مد، که سبب تنش‌های آبی و افزایش شوری آب که تنش‌های گیاه را به دنبال دارد (زارع‌زاده مهریزی و همکاران، ۱۳۹۰؛ پاسترگوزمان و همکاران، ۲۰۱۸)، تغییرات بیشتری (حدود ۰/۳۴) در بیشه‌زارها و ۰/۰۴ در جنگل‌های حرا را در طی فصول مختلف سال نشان می‌دهند (شکل ۶-۶a و ۶-۶c). با توجه به تغییرات مشاهده شده در طول موج‌های مختلف، محدوده مادون قرمز نزدیک قابلیت بیشتری در مشاهده تغییرپذیری فصلی گیاهان دارد (شکل ۵).



شکل شماره ۶. تغییرات منحنی طیفی پوشش‌های گیاهی در سری زمانی (۲۰۱۷) در سنجنده OLI، (a) بیشهزارها، (b) نخل‌های شادگان، و (c) جنگلهای حرا

#### نتایج بررسی چرخه فنولوژی گیاهان مورد مطالعه

در بیشهزارها، مقادیر شاخص‌های EVI و SAVI مشتق شده از سنجنده OLI تقریباً بر هم منطبق‌اند (شکل ۷-۱). مقادیر NDVI با متوسط سالانه  $0.53 \pm 0.03$  در دو شاخص SAVI و EVI بالاتر از دو شاخص دیگر است، اما هر سه شاخص روند یکسانی را در تغییرپذیری این نوع پوشش گیاهی نشان می‌دهند. نتایج سنجنده OLI شروع فصل رشد و اوج فصل رشد را منطبق با واقعیت زمینی چرخه فنولوژی نشان می‌دهد. اما پایان فصل رشد را به درستی نمایش نمی‌دهد و منحنی این شاخص‌ها دارای نقاط اوج و فرود اضافی است. در شاخص‌های طیفی سنجنده MSI نظیر شاخص‌های سنجنده OLI، مقادیر دو شاخص EVI و SAVI به هم نزدیک‌اند و مقادیر شاخص NDVI از دو شاخص دیگر حدود  $0.20$  (در متوسط سالانه) بیشتر است. تغییرات شاخص‌های گیاهی مشتق شده از سنجنده MSI به خوبی سه مرحله اصلی شروع فصل رشد، اوج فصل رشد، و پایان فصل رشد را منطبق با چرخه فنولوژیکی طبیعی بیشهزارها نشان می‌دهد (شکل ۷-۱b).

به دلیل دردسترس نبودن تصاویر لندست-۸ در دو ماه پایانی سال برای درختان نخل، مطالعه کامل تغییرات فنولوژی مقدور نیست. با این حال، مقادیر شاخص‌های گیاهی مربوط به تصاویر لندست در طول سال تغییرات زیادی نشان نداد. میزان تغییرات شاخص‌های گیاهی سنجنده MSI با  $0.66 \pm 0.049$  در شاخص NDVI و  $0.52 \pm 0.049$  به ترتیب در دو شاخص EVI و SAVI بیشتر است. شروع فصل رشد در هر سه شاخص قابل مشاهده است. تغییرات مقادیر شاخص طیفی OLI با شاخص SAVI و EVI در DOY ۱۸۰ کاملاً برعکس است. مقدار NDVI (در سنجنده MSI) در این موقع از سال حدود  $0.05$  و در سنجنده OLI حدود  $0.02$  افزایش می‌یابد، اما در دو شاخص SAVI و EVI برای

هر دو سنجنده کاهشی است که با واقعیت زمینی تطابق دارد (شکل ۷-۲). روند کاهشی در انتهای فصل رشد تا حدودی در هر سه شاخص NDVI، SAVI و EVI قابل مشاهده است. به طور کلی، نتایج بدست آمده از تصاویر سنجش از دوری اپتیک برای پوشش گیاهی نخل در این تحقیق نشان می‌دهد دوره افزایش کلروفیل برگ‌ها و تغییرات سبزینگی تاج پوشش گیاه و همچنین دوره گل‌دهی نخل‌های خرما- که بین DOY ۷۰ تا ۱۳۸ (اواسط فصل زمستان تا اوخر اردیبهشت) رخ می‌دهد- قابل پایش است. اما مرحله دوم چرخه فنولوژیکی درختان خرما، که همراه با شروع میوه‌دهی آن‌ها (شامل دوره‌های کمیری تا تمار) است، به راحتی قابل مشاهده نیست (شکل ۷-۳).

گرچه درختان حرا خزان‌پذیر نیستند، تغییرات سالیانه شاخص‌های گیاهی در آن‌ها زیاد است (شکل ۷-۳). علت آن می‌تواند در حساسیت این درختان به تغییرات شرایط محیطی بهویژه میزان آب در دسترس باشد. شاخص‌های گیاهی لندست شروع افزایش میزان سبزینگی را در حدود یک ماه زودتر نشان می‌دهد (شکل ۷-۳). در ادامه سال، میزان شاخص‌ها تغییری نمی‌کند. دامنه تغییرات شاخص‌های گیاهی بدست آمده از سنجنده MSI نسبت به شاخص‌های سنجنده OLI بیشتر است (شکل ۷-۳). این شاخص‌ها شروع فصل رشد را حدود بیست روز زودتر نشان می‌دهند. حداکثر سبزینگی با حداکثر رسیدن مقادیر شاخص‌های سنجنده MSI منطبق است (شاخص‌های SAVI و EVI در DOY ۳۱۹ به مقدار حداکثر می‌رسند). پس از این افزایش، مقادیر شاخص‌های گیاهی ثابت است و روند کاهشی محسوسی در میزان شاخص‌ها، که نشان‌دهنده کاهش سبزینگی باشد، مشاهده نمی‌شود. میزان حداکثر شاخص‌های گیاهی که بین DOY ۱۹۰ تا ۲۱۰ (با ۰/۸ در شاخص NDVI و ۰/۶ در شاخص‌های SAVI و EVI) است در هر دو سنجنده مشاهده می‌شود (شکل ۷-۳).



شكل شماره ۷. تغييرات فصلی گياهان همراه تاریخ انتقال دوره‌های فنولوزیکی آن‌ها در سه اکوسیستم گياهی: (۱) بیشهزار، (۲) نخل‌های شادگان، (۳) جنگل‌های حرا مشاهده شده از دو سنجنده MSI (b) و OLI (a)

شكل ۷-۱ و ۳ به طور کلی دو پیک افزایش سبزینگی را نشان می‌دهد. تغييرات شاخص‌های گياهی برای نخل‌های شادگان از دو نوع پوشش گياهی جنگل‌های حرا و بیشهزارها متفاوت مشاهده شد و تقریباً در بیشتر طول سال روند تغييرات یکنواختی نشان می‌دهند که فقط در فصل زمستان مقادیر شاخص‌ها افزایشی بود.

نتایج مقادیر ضرایب بازپخش را در ارتباط با تغييرات فصلی پوشش‌های گياه تحقیقات گذشته نشان داده است که مقادیر ضرایب بازپخش در هر دو قطبش VH و VV در باند C برای پایش

پوشش‌های گیاهی مناسب‌اند (زیائو و همکاران، ۲۰۰۴؛ موران و همکاران، ۲۰۱۱؛ ساووی و مکی، ۲۰۱۵؛ اشتان‌داردی و همکاران، ۲۰۱۹). بالاترین مقادیر بازپراکنش<sup>۵</sup> در هر دو قطبش مطابق با دوره‌ای است که پوشش‌های گیاهی به حداکثر زیست‌توده خود می‌رسند (اشتان‌داردی و همکاران، ۲۰۱۹). مقادیر بازپراکنش سالانه قطبش VH در پوشش گیاهی بیشه‌زارها بین ۱۳- تا ۱۲.۶ dB، نخل‌های شادگان بین ۱۳.۶۰- تا ۱۷.۴۶ dB، و برای جنگل‌های حرا بین ۱۴.۵۳- تا ۱۱.۹۷ dB در تغییر است. در قطبش VV این میزان از ۸.۳- تا ۱۱.۹۷ dB نیز برای جنگل‌های حرا مشاهده شد. به‌طور کلی، مقادیر بازپراکنش در قطبش VV از مقادیر قطبش در باند VH بزرگ‌تر است (جدول ۴).

در بیشه‌زارها، میزان حداکثر ضریب بازپخش در قطبش VV ۷.۶ dB در DOY ۱۶۱ و در قطبش VH با ۱۲.۳ dB در DOY ۱۹۷ مشاهده شد (جدول ۴). روند تغییرات دو منحنی ضرایب بازپخش در باندهای VH و VV در مشاهده دوره‌های فصل رشد با هم تفاوت دارد. انتباخ منحنی شاخص‌های طیفی گیاهی با منحنی VH بیشتر است و این منحنی تغییرپذیری سالیانه را بهتر نمایش می‌دهد. همچنین، انعطاف‌پذیری در طول چرخه فنولوژیکی گیاهان برای قطبش VH با واقعیت زمینی اختلاف اندکی در اوج فصل رشد نشان می‌دهد. در حالی که منحنی VV نقاط حداقل زیادی را نمایش می‌دهد که بر دوره طبیعی رشد گیاه منطبق نیست. نقطه مشترک این منحنی با منحنی شاخص‌های طیفی در زمان مشاهده مقادیر بیشینه است؛ در حالی که مقادیر ضریب بازپخش VH با تأخیر به اوج می‌رسد (شکل ۸).

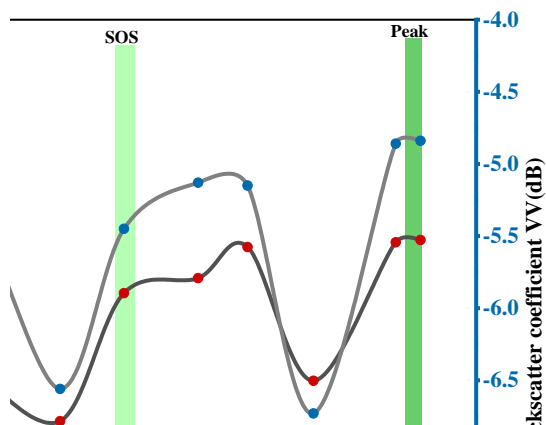
جدول شماره ۴. مقادیر میانگین و انحراف معیار (SD) ضریب بازپخش در قطبش VH و VV سنتیل-۱ در سال ۲۰۱۷

Month	DOY	بیشه‌زارها				نخل‌های شادگان				جنگل‌های حرا			
		VV (dB)		VH (dB)		VV (dB)		VH (dB)		VV (dB)		VH (dB)	
		Mean	SD	Mean	SD	DOY	Mean	SD	Mean	SD	DOY	Mean	SD
Jan	5	-7.46	0.87	--	--	5	-6.28	1.28	--	--	2	-4.88	1.15
Feb	53	-7.65	1.0	-12.69	0.79	41	-6.63	1.11	-14.18	0.73	33	-7.16	0.99
Mar	77	-7.99	1.06	-12.58	0.78	77	-6.06	0.94	-13.60	0.73	62	-6.12	1.23
Apr	101	-7.88	1.02	-12.99	0.87	118	-9.87	1.00	-16.03	1.21	115	-6.90	0.83
May	125	-8.26	0.93	-12.97	0.91	125	-7.02	0.80	-13.83	0.65	122	-5.42	1.19
Jun	161	-7.61	1.10	-12.31	1.04	166	-9.88	0.96	-15.77	1.17	163	-6.56	0.86
Jul	197	-7.74	1.37	-12.25	0.88	190	-8.22	0.82	-14.77	0.68	194	-5.45	1.19
Aug	233	-7.82	1.13	-12.70	0.99	226	-8.96	0.89	-15.22	0.74	230	-5.13	1.15
Sep	257	-7.78	1.00	-12.71	0.91	250	-9.60	0.95	-16.27	0.73	254	-5.15	1.00
Oct	281	-7.96	1.05	-13.02	0.81	286	-9.07	0.91	-15.25	0.77	286	-6.73	1.08
Nov	329	-8.21	0.87	-12.88	0.72	329	-8.91	0.78	-15.03	0.84	326	-4.86	0.99
Dec	347	-8.33	0.85	-13.90	0.93	358	-10.79	1.56	-17.46	1.54	338	-4.84	0.98
												-11.91	0.84

بررسی نمودار تغییرات مقادیر ضریب بازپخش نخلستان در سری زمانی یکساله نشان می‌دهد که مقادیر بازپخش نوسانات زیادی دارد. این افزایش نوسان در مقادیر بازپراکنش راداری می‌تواند به دلیل افزایش حجم شاخ و برگ‌های تازه و خوش‌های میوه درختان نخل در تاج پوشش باشد که به دلیل نوع میوه‌دهی خود تا یک متر هم رشد دارند (شکل ۸- b). در حالی که شاخص‌های طیفی این نوع پوشش گیاهی پایدارند و واکنش زیادی نسبت به تغییرات فصلی از خود نشان نمی‌دهند (شکل ۷- ۲). نکته قابل توجه در نخلستان این است که دو منحنی مقادیر بازپخش در دو باند VH و VV تطبیق زیادی با هم دارند و مقادیر حداقل و حداکثر آن در یک تاریخ اتفاق می‌افتد. حداقل مقدار بازپخش راداری در ۱۱۸ DOY و حداکثر مقدار آن در ۷۷ DOY است (شکل ۸- b). مقایسه این زمان‌ها با زمان وقوع حداقل و حداکثر شاخص‌های طیفی نشان‌دهنده حدود بیست روز رخدادن زودتر مقادیر حداقل و حداکثر بازپخش راداری است. این نوع پوشش گیاهی بین ۱۲۰ تا ۳۶۵ DOY تغییرات فنولوژیک کمی را تجربه می‌کند که با ویژگی‌های فنولوژیکی گیاه نخل تطابق دارد (شکل ۸).

محدوده مقادیر ضریب بازپخش جنگل‌های حرا در هر دو قطبش VV و VH تغییرات وسیع‌تری به ترتیب برابر با ۲/۶۲ و ۲/۲۳ dB نشان داده‌اند (شکل ۸-۲). روند تغییرات شاخص‌های گیاهی شکل ۷ نیز تقریباً با تغییرات مقادیر قطبش هماهنگ است، اگر چه در فواصل DOY ۱۹۷ تا ۲۵۷ منحنی متفاوت است.





شکل شماره ۸. تغییرات فصلی گیاهان همراه تاریخ انتقال دوره‌های فنولوژیکی آن‌ها در سه اکوسیستم گیاهی: (a) بیشهزارها، (b) نخل‌های شادگان و (c) جنگلهای حرا، در هر دو قطبش VH و VV سنجنده سنتینل-۱

### نتیجه‌گیری

در این تحقیق، به منظور بررسی قابلیت‌های ماهواره سنتینل-۱، ۲ و لندست-۸ در پایش تغییرات فصلی پوشش‌های گیاهی مختلف، روند تغییرپذیری شاخص‌های گیاهی و مقادیر ضریب بازپخش در قطبش‌های VH و VV در باند C ارزیابی شده است. در مطالعات گذشته نیز اشاره شده است که تغییرات فصلی شاخص‌های گیاهی ارتباط نزدیکی با چرخه فنولوژیکی محاسبه شده با شاخص سطح برگ دارند (پیائو و همکاران، ۲۰۰۴؛ موران و همکاران، ۲۰۱۱؛ ساووی و مکی، ۲۰۱۵).

پوشش‌های گیاهی در مراحل مختلف رشد، با تغییرات کاهشی و افزایشی میزان کلروفیل گیاه، تغییر حجم تاج پوشش گیاه، رشد اندازه شاخ و برگ همراه‌اند که این تغییرات واکنش‌های طیفی متفاوتی در طول موج‌های مختلف نشان می‌دهند (روچا و شاور، ۲۰۰۹؛ کریستین و همکاران، ۲۰۱۵). این ویژگی‌های طیفی گیاهان و تغییرات آن‌ها در سنجش از دور اپتیک اطلاعات مفیدی برای پایش و شناسایی مراحل مختلف چرخه فنولوژیکی گیاهان ارائه می‌دهند. بیشترین ارتباط با تغییرات کلروفیل گیاهان با توجه به فعالیت‌های فتوسنتزی گیاهان بیشترین همبستگی با تغییرپذیری گیاهان را نشان می‌دهد. وقتی گیاهان سالم‌اند و کلروفیل بیشتری تولید می‌کنند سبب افزایش بازتابندگی (در محدوده لبه قرمز) در گیاهان می‌شود که از آن به عنوان یکی از کلیدهای مهم در پایش گیاهان نام برده می‌شود (هیوته و همکاران، ۲۰۰۲؛ پیائو و همکاران، ۲۰۲۰). این پدیده معمولاً با افزایش در جذب محدوده ۶۸۰ نانومتر همراه است. زیرا گیاه در فرایند فتوسنتزی انرژی بیشتری را جذب می‌کند (پیائو و همکاران، ۲۰۰۰). حداکثر مقادیر بازتاب گیاهی (نقطه اوج منحنی) در محدوده مادون قرمز نزدیک مشاهده می‌شود که با افزایش کلروفیل گیاهان نیز رابطه مستقیمی دارد (کنیازخین و همکاران، ۲۰۱۳). این ویژگی محدوده مرئی تصاویر اپتیک با توجه به محدوده مرئی بین ۰/۴ تا ۰/۲ میکرومتر سنجنده OLI برای هر سه نوع پوشش گیاهی بیشهزار (گیاهان خزان‌پذیر) و دو نوع پوشش گیاهی نخل و درختچه‌های حرا (گیاهان همیشه سبز) نشان داده شد. درختان نخل در طول یک سال دامنه تغییرات کمی نشان داده‌اند که به علت همیشه سبز بودن آن‌هاست. این ویژگی با توجه به رفتار طیفی در طول سال با واقعیت زمینی آن‌ها هماهنگ است برای

درختچه‌های حرا این تغییرات بیشتر است. این دامنه تغییرات می‌تواند ناشی از تأثیرپذیری بالا اکوسیستم‌های مانگرو از جزر و مد دریا، تغییرات شوری، دما یا ورود آب شیرین به آن‌ها باشد (زارع‌زاده مهریزی و همکاران ۱۳۹۰؛ پاسترگوزمان و همکاران، ۲۰۱۸).

پروفایل‌های فصلی شاخص‌های گیاهی در سنجنده MSI دوره فصل رشد در هر سه اکوسیستم را به خوبی نشان دادند (شکل ۷-۶). در هر سه اکوسیستم گیاهی بیشه‌زارها، نخل‌های خرما، و درختچه‌های حرا دامنه تغییرات شاخص EVI از ۰/۳۲ تا ۰/۴۶ و در شاخص SAVI بین ۰/۳۲ و ۰/۴۴، و ۰/۵۵ و ۰/۵۶ متغیر است. در سنجنده OLI به ترتیب بین ۰/۳ و ۰/۳۲ در شاخص EVI و ۰/۲۸ در شاخص SAVI بود که نشان می‌دهد دامنه تغییرات شاخص‌های گیاهی در سنجنده MSI نسبت به OLI بیشتر است. همچنین، متوسط میزان کلروفیل در درختچه‌های حرا بیشتر از دو اکوسیستم گیاهی دیگر مشاهده شد که در هر دو سنجنده برای شاخص‌های EVI و SAVI این نتایج یکسان بود.

نتایج کلی تحقیق نشان می‌دهد دامنه فصل رشد بیشه‌زارها در شاخص‌های EVI و SAVI نسبت به NDVI با واقعیت زمینی هماهنگ‌تر است. اگرچه به علت عدم دسترسی به تصاویر اپتیک کافی در طی چرخه اصلی فنلوزیکی گیاه (تصاویر موجود بین شروع تا پایان فصل رشد گیاه) بررسی رفتار شاخص‌های طیفی کاملاً قابل تحلیل نیست، انعطاف‌پذیری مقادیر ضرایب بازپخش راداری تطابق خوبی با واقعیت زمینی نشان می‌دهد که تا حدودی توانسته است دوره رشد این نوع پوشش گیاهی را نمایش دهد. با این حال، با توجه به حساسیت تصاویر اپتیک به تغییرات کلروفیل گیاهان در طول فصل رشد (هیوته و همکاران، ۲۰۰۲)، شاخص‌های طیفی استخراج شده از تصاویر اپتیک در بیشه‌زارها با روند تغییرات فصلی تطابق بهتری نشان دادند. مراحل مختلف فنلوزیکی این گیاهان تحت تأثیر پارامترهای محیطی نظیر میزان دما و بارش اختلاف چندگاههای در سال‌های مختلف دارند (حسامی و دوازده‌امامی، ۱۳۹۵). همچنین، با توجه به مشاهده پیک دوم در روند افزایشی کلروفیل گیاهی بیشه‌زارها، ضروری است تا سال‌های بیشتری بررسی شود تا علت سبزشدنگی و افزایش کلروفیل در دوره‌های خارج از فنوفاز این پوشش گیاهی تعیین شود. منحنی تغییرات مقادیر شاخص‌های طیفی در نخلستان نشان می‌دهد که شاخص‌های طیفی چرخه اول را بهتر نمایش می‌دهند. اگرچه به علت وجود پوشش ابر در این مناطق تعداد تصاویر اپتیک در این بازه کم است. دوره میوه‌دهی این محصول به خوبی با مقادیر شاخص‌های طیفی قابل پایش نیست. با درنظرگرفتن عدم تغییر میزان کلروفیل در درختان نخل، این امر بدیهی است. در مقابل، واکنش مقادیر ضرایب بازپخش نسبت به تغییرات نخلستان‌ها بیشتر بوده و تصاویر رadar قطبی منبع بهتری برای پایش این مرحله از دوره فنلوزیکی درختان نخل بهشمار می‌آیند. زیرا افزایش میزان بازپخش راداری به دلیل پازپخش حجمی تاج پوشش گیاهان اتفاق می‌افتد. مرحله میوه‌دهی درخت نخل با تراکم تاج پوشش (به دلیل رشد شاخه‌های میوه رطب) همراه است و افزایش کلروفیل در برگ‌های موجود اتفاق نمی‌افتد. در نتیجه، ضرایب بازپخش قطبش‌های راداری باند C ستینيل - ۱ تطابق بهتری با تغییرات گیاه در مقایسه با شاخص‌های گیاهی که به تغییرات کلروفیل حساس‌اند در این دوره از رشد گیاهان نخل ارائه می‌دهند. از طرف دیگر، پاجوش‌های نخل خرما که در پایه نخل‌ها رشد می‌کنند می‌تواند دلیل دیگری بر ثبت تغییرات در میزان بازگشت پالس‌های راداری در طول فصل رشد باشد. درختچه‌های حرا نیز با توجه به تفاوت دوره‌های فنلوزیک و تأثیرپذیری از شرایط اکوسیستم ماندابی خود در طول سال روند تغییرپذیری فصلی متفاوتی از دو نوع دیگر پوشش گیاهی دارند. این تغییرات فصلی می‌تواند ناشی از جریانات جزر و مد دریا باشد؛ به گونه‌ای که در مطالعات زارع‌زاده مهریزی و همکاران (۱۳۹۰) نیز تأثیر این پارامتر بر کاهش میزان تاج پوشش گیاهی درختچه‌های حرا اشاره شده است. دوره رشد جنگل‌های حرا و بیشه‌زارها به عنوان درختان با تاج پوشش گیاهی

متراکم بیشتر تحت تأثیرات تغییرات فصلی قرار می‌گیرند؛ همان‌گونه که اوج سبزینگی در فصل مرطوب سال در تحقیق پاسترگوزمان و همکاران (۲۰۱۸) مشاهده شده است.

بهطور کلی، می‌توان گفت بین بازپرداخت VH<sup>۵</sup> و شاخص‌های طبیعی گیاهی تطابق وجود دارد و این پارامترها قادرند که تغییرپذیری فصلی بهویژه در پوشش‌های گیاهی خزان‌پذیر (مانند بیشهزارهای) را پایش کنند. چنان که مطالعات روتسبچی و همکاران (۲۰۱۸) و اشتان‌داردی و همکاران (۲۰۱۹) این مسئله را تأیید کرده‌اند. با این حال، مقایسه این نتایج در یک اکوسیستم گیاهی خزان‌پذیر با ویژگی‌های اقلیمی بیشهزارهای خوزستان تاکنون انجام نگرفته است که نتایج این تحقیق گویای توانایی سنجنده‌های راداری در پایش تغییرپذیری فصلی این نوع اکوسیستم‌های گیاهی است. از بین شاخص‌های مورد مطالعه نیز دو شاخص SAVI و EVI نتایج نزدیک‌تری به تصاویر رادار قطبی سنتینل-۱ داشته‌اند. اما در پوشش گیاهی نخل هر دو قطبش تغییرپذیری نزدیک به هم داشته‌اند. بازه زمانی این پژوهش فقط به سال ۲۰۱۷ محدود شده است که برای تفاوت در سال‌های مختلف نیاز است تا این سری مطالعات در دوره‌های زمانی بلندمدت‌تر مورد تجزیه و تحلیل قرار گیرد. زیرا تغییرات چرخه فنولوژیکی گیاهان تدریجی و ناگهانی‌اند (وریسلت و همکاران، ۲۰۱۰). از این رو، پایش چرخه فنولوژیکی گیاهان با تصاویر بیشتر و با فاصله زمانی کمتر در سری‌های زمانی طولانی‌تر نتایج مناسب‌تری ارائه می‌دهند. شناخت تغییرات فنولوژیکی گیاهان در اکوسیستم‌های گیاهی مختلف می‌تواند درک ما را نسبت به چگونگی شرایط آن‌ها افزایش دهد. از طرف دیگر، منحنی‌های فصلی شاخص‌های SAVI و EVI در پایش دوره‌های فصل رشد متقارن‌تر از شاخص NDVI مشاهده شد. در مقادیر EVI بین گیاهان خزان‌پذیر بیشهزار و همیشه سبز خرما و درختچه‌های حرا تفاوت عمده‌ای در تغییرپذیری فصلی گیاهان وجود دارد که می‌تواند در تفکیک انواع این اکوسیستم‌های گیاهی مفید باشد.

❖ تغییرپذیری ضرایب بازپخش در تصاویر رادار قطبی متناسب با تغییرات دوره روشی گیاهان است و این تصاویر می‌توانند در تشخیص و پایش چرخه رشد گیاهان مکمل تصاویر اپتیک قرار گیرد.

❖ مقایسه پولاrizاسیون VH و VV نشان می‌دهد که ضریب بازپخش در باند VH حساسیت بیشتری به تغییرات گیاهان دارد و در نتیجه برای پایش چرخه رشد سالیانه گیاهان مناسب‌تر است. گرچه در بعضی پوشش‌های گیاهی، همچون نخل، تغییرپذیری هر دو قطبش تقریباً یکسان است. همچنین، قطبش VH نتایج نزدیک‌تر به شاخص‌های SAVI و EVI نشان داد و به واقعیت زمینی نیز نزدیک‌تر است.

❖ از بین شاخص‌های اپتیک، شاخص‌های EVI و SAVI نسبت به NDVI تغییرات را بهتر نمایش می‌دهد، اگرچه زمان حداکثر رشد و پایان رشد را کمی زودتر از زمان واقعی خود نشان می‌دهند.

❖ نتایج بررسی تصاویر رادار قطبی برای اکوسیستم ماندابی همچون پوشش گیاهی جنگل‌های حرا نشان می‌دهد این تصاویر در مقایسه با تصاویر اپتیک کارایی بهتری برای پایش تغییرات فصلی گیاهان دارند. نتایج همسان در مطالعه هو و همکاران (۲۰۲۰) نیز یافت شد.

❖ در دسترس نبودن تصاویر اپتیک در برخی از ماههای سال یکی از چالش‌های پایش روند چرخه فنولوژیک گیاهان بهشمار می‌رود که نتایج بررسی تصاویر رادار قطبی سنتینل-۱ نشان داد چنین خلاصه‌ایی با تصاویر رادار پولارمتری برطرف کردند.

❖ دسترسی رایگان به آرشیو کامل تصاویر لندست-۸ و سنتینل-۱ و ۲ امکان استفاده از یافته‌های این پژوهش را برای محققان تسهیل می‌کند. از نتایج این تحقیق می‌توان برای تشخیص مراحل فنولوژی در مناطق با ویژگی‌های محیطی و اکوسیستمی نزدیک به مناطق مورد مطالعه استفاده کرد و برای تعمیم آن به سایر مناطق مطالعات تکمیلی ضروری است.

## تقدیر و تشکر

بنا به اظهار نویسنده مسئول، این مقاله حامی مالی نداشته است.

## منابع

- (۱) ثابتی، ح. (۱۳۵۵). جنگل‌ها، درختان و درختچه‌های ایران، تهران: سازمان تحقیقات کشاورزی و منابع طبیعی.
- (۲) حسامی، س. م. و دوازده‌امامی، س. (۱۳۹۵). بررسی فنولوژی گونه بلوط ایرانی (*Quercus brantii* Lindl) در سه رویشگاه مختلف در استان فارس، مجله تحقیقات جنگل‌های زاگرس، دوره ۳، شماره ۱، صص ۴۶-۳۳.
- (۳) زارع‌زاده مهریزی، ط؛ خوشبخت، ک؛ مهدوی دامغانی، ع. و کامبوزیا، ج. (۱۳۹۰). مطالعه اثرات کاهش جریانات جزر و مدی بر ساختار رویشی جنگل‌های حرا مطالعه موردنی: پارک ملی-ساحلی نای‌بند، علوم محیطی، دوره ۸، شماره ۴، صص ۴۳-۵۸.
- (۴) کوهپایه، ن؛ ناصرزاده، م. و حجازی‌زاده بیگم، ز. (۱۳۹۷). طبقه‌بندی و ارتباط‌سنجی الگوهای فشار با مراحل فنولوژی خرما (مناطق سراوان و آبدان)، جغرافیای طبیعی، ۱۲ (۴۳): ۸۹-۱۰۵.
- (۵) یوسفی، ب. (۱۳۹۲). جمع‌آوری، شناسایی، و ارزیابی مورفولوژیک و فنولوژیک بیدهای استان کردستان، تحقیقات جنگل و صنوبه ایران، ۲۱(۱): ۱۸۴-۲۰۲.
- 6) Amalisana, B. and Hernina, R. (2017). Land cover analysis by using pixel-based and object-based image classification method in Bogor. In IOP Conference Series: Earth and Environmental Science (Vol. 98, No. 1, p. 012005).
- 7) Bazzi, H.; Baghdadi, N.; El Hajj, M.I Zribi, M.; Minh, D. H. T.; Ndikumana, E.; ... and Belhouchette, H. (2019). Mapping paddy rice using Sentinel-1 SAR time series in Camargue, France. Remote Sensing, 11(7): 887.
- 8) Bequette, B. W. (2010). Continuous glucose monitoring: real-time algorithms for calibration, filtering, and alarms. Journal of diabetes science and technology, 4(2): 404-418.
- 9) Buitenhof, R.; Rose, L. and Higgins, S. I. (2015). Three decades of multi-dimensional change in global leaf phenology. Nature Climate Change, 5(4): 364-368.
- 10) Burrows, M. T.; Schoeman, D. S.; Buckley, L. B.; Moore, P.; Poloczanska, E. S.; Brander, K. M.; ... and Richardson, A. J. (2011). The pace of shifting climate in marine and terrestrial ecosystems. Science, 334(6056): 652-655.
- 11) Cai, Y.; Lin, H. and Zhang, M. (2019). Mapping paddy rice by the object-based random forest method using time series Sentinel-1/Sentinel-2 data. Advances in Space Research, 64(11): 2233-2244.
- 12) Cai, Y.; Li, X.; Zhang, M. and Lin, H. (2020). Mapping wetland using the object-based stacked generalization method based on multi-temporal optical and SAR data. International Journal of Applied Earth Observation and Geoinformation, 92: 102164.
- 13) Chambers, J. Q.; Asner, G. P.; Morton, D. C.; Anderson, L. O.; Saatchi, S. S.; Espírito-Santo, F. D.; ... and Souza Jr, C. (2007). Regional ecosystem structure and function: ecological insights from remote sensing of tropical forests. Trends in Ecology & Evolution, 22(8): 414-423.
- 14) Chen, X.; Vierling, L.; Deering, D. and Conley, A. (2005). Monitoring boreal forest leaf area index across a Siberian burn chronosequence: a MODIS validation study. International Journal of Remote Sensing, 26(24): 5433-5451.
- 15) Christian, B.; Joshi, N.; Saini, M.; Mehta, N.; Goroshi, S.; Nidamanuri, R. R. and Krishnayya, N. S. R. (2015). Seasonal variations in phenology and productivity of a tropical dry deciduous forest from MODIS and Hyperion. Agricultural and Forest Meteorology, 214-215: 91-105.
- 16) Clark, R. N.; Kokaly, R. F.; Swayze, G. A.; Livo, K. E.; Hoefen, T. M.; Pearson,

- N. C.; ...and Klein, A. J. (2017). USGS Spectral Library Version 7: Data Series 1035. 61.
- 17) Cohen, W. B.; Yang, Z. G. and Kennedy, R. (2010). Detecting trends in forest disturbance and recovery using yearly Landsat time series: 2. TimeSync - Tools for calibration and validation. *Remote Sensing of Environment*, 114: 2911-2924.
- 18) Drusch, M.; Del Bello, U., Carlier, S., Colin, O., Fernandez, V., Gascon, F., Bargellini, P. (2012). Sentinel-2: ESA's Optical High-Resolution Mission for GMES Operational Services. *Remote Sensing of Environment*, 120: 25-36.
- 19) Duke, N. C.; Meynecke, J. O.; Dittmann, S.; Ellison, A. M.; Anger, K.; Berger, U.; ... and Dahdouh-Guebas, F. (2007). A world without mangroves?. *Science*, 317(5834): 41-42.
- 20) Ellison, J.C. and Simmonds, S. (2003). Structure and Productivity of inland mangrove stands at Lake MacLeod, Western Australia. *Journal of the Royal Society of Western Australia*, 86: 25-30.
- 21) ESA (2017). Sentinels Scientific Data Hub. Retrieved from. <https://scihub.copernicus.eu/Dhus/#/home>.
- 22) Field, C. B.; Gamon, J. A. and Peñuelas, J. (1995). Remote sensing of terrestrial photosynthesis. In *Ecophysiology of photosynthesis* (pp. 511-527). Springer, Berlin, Heidelberg.
- 23) Fisher, J. I.; Mustard, J. F. and Vadeboncoeur, M. A. (2006). Green leaf phenology at Landsat resolution: Scaling from the field to the satellite. *Remote sensing of environment*, 100(2): 265-279.
- 24) Flores-Anderson, A. I.; Herndon, K. E.; Thapa, R. B. and Cherrington, E. (2019). Sampling Designs for SAR-Assisted Forest Biomass Surveys. *THE SAR HANDBOOK Comprehensive Methodologies for Forest Monitoring and Biomass Estimation*, 1-307.
- 25) Frankie, G.W.; Baker, H.G. and Opler, P.A., (1974). Comparative phenological studies of trees in tropical wet and dry forests in the lowlands of Costa Rica. *J. Ecol.*, 881-919.
- 26) Frison, P. L.; Fruneau, B.; Kmiha, S.; Soudani, K.; Dufrene, E.; Le Toan, T.; ... and Rudant, J. P. (2018). Potential of Sentinel-1 data for monitoring temperate mixed forest phenology. *Remote Sensing*, 10(12): 2049.
- 27) Hansen, M. C.; Potapov, P. V.; Goetz, S. J.; Turubanova, S.; Tyukavina, A.; Krylov, A. and Egorov, A. (2016). Mapping tree height distributions in Sub-Saharan Africa using Landsat 7 and 8 data. *Remote Sensing of Environment*, 185: 221-232.
- 28) Helman, D. (2018). Land surface phenology: What do we really 'see' from space?. *Sci Total Environ.* 618: 665-673.
- 29) Hesami, M. and Davazdahemami, S. (2016). Phenology of Persian Oak (*Quercus brantii* Lindl.) in Three Different Sites in Fars Province, Iran. 3. 3 (1) :33-46. URL: <http://yujs.yu.ac.ir/jzfr/article-1-79-fa.html>. (in Persian).
- 30) Hu, L.; Xu, N.; Liang, J.; Li, Z.; Chen, L.; and Zhao, F. (2020). Advancing the Mapping of Mangrove Forests at National-Scale Using Sentinel-1 and Sentinel-2 Time-Series Data with Google Earth Engine: A Case Study in China. *Remote Sensing*, Vol. 12.
- 31) Huang, N.; Wang, L.; Song, X.-P.; Black, T. A.; Jassal, R. S.; Myneni, R. B.; ...and Ji, D. (2020). Spatial and temporal variations in global soil respiration and their relationships with climate and land cover. *Science Advances*, 6(41): eabb8508.
- 32) Huete, A. R. (1988); A soil adjusted vegetation index (SAVI), *Remote Sensing of Environment*. 25: 295-309.
- 33) Huete, A. R.; Liu, H. Q.; Batchily, K. and van Leeuwen, W. J. D. (1997). A comparison of vegetation indices over a global set of TM images for EOS-MODIS. *Remote Sensing of Environment*, 59: 440-451.
- 34) Huete, A.; Didan, K.; Miura, T.; Rodriguez, E. P.; Gao, X. and Ferreira, L. G.

- (2002). Overview of the radiometric and biophysical performance of the MODIS vegetation indices. *Remote Sensing of Environment*, 83(1-2): 195-213.
- 35) Jensen, J. R. (1996). *Introductory Digital Image Processing: A Remote Sensing Perspective*. New Jersey: Prentice Hall, Inc.
- 36) Jiang, Y.; Zhang, L.; Yan, M.; Qi, J.; Fu, T.; Fan, S. and Chen, B. (2021). High-Resolution Mangrove Forests Classification with Machine Learning Using Worldview and UAV Hyperspectral Data. *Remote Sensing*, Vol. 13.
- 37) Jiao, X.; McNairn, H.; Shang, J. and Liu, J. (2010, July). The sensitivity of multi-frequency (X, C and L-band) radar backscatter signatures to bio-physical variables (LAI) over corn and soybean fields. In *ISPRS TC VII Symposium—100 Years ISPRS* (pp. 317-325).
- 38) Jin, H., Eklundh, L., (2014). A physically based vegetation index for improved monitoring of plant phenology. *Remote Sens. Environ.* 152, 512–525.
- 39) Kang, J.; Hou, X.; Niu, Z.; Gao, S. and Jia, K. (2014). Decision tree classification based on fitted phenology parameters from remotely sensed vegetation data. *Transactions of the Chinese Society of Agricultural Engineering*, 30(9): 148-156.
- 40) Khouly, A.A. and Khedr, A. (2007). Zonation pattern of Avicennia marina and Rhizophora mucronata along the Red Sea Coast, Egypt. *World applied sciences Journal*, 2(4): 283-288.
- 41) Knipling, E. B. (1970). Physical and Physiological Basis for the Reflectance of Visible and Near-Infrared Radiation from Vegetation. 1:155-159.
- 42) Knyazikhin, Y.; Schull, M. A.; Stenberg, P.; Mottus, M.; Rautiainen, M.; Yang, Y.; ... Myneni, R. B. (2013). Hyperspectral remote sensing of foliar nitrogen content. *Proceedings of the National Academy of Sciences*, 110(3): E185–E192.
- 43) Koohpaye, N.; Naserzade, M. and Hejazizade Bigom, Z. (2019). Classification and measurement of pressure patterns with date phenological stages (Saravan and Abadan regions). *Physical Geography Quarterly*, 12(43), 89-104. (in Persian).
- 44) Li, J., Pei, Y., Zhao, S., Xiao, R., Sang, X. and Zhang, C. (2020). A Review of Remote Sensing for Environmental Monitoring in China. *Remote Sensing*, 12(7): 1130.
- 45) Liao, C.; Wang, J.; Dong, T.; Shang, J.; Liu, J. and Song, Y. (2019). Using spatio-temporal fusion of Landsat-8 and MODIS data to derive phenology, biomass and yield estimates for corn and soybean. *Science of the total environment*, 650: 1707-1721.
- 46) Louis, J.; Debaecker, V.; Pflug, B.; Main-Knorn, M.; Bieniarz, J.; Mueller-Wilm, U.; ... and Gascon, F. (2016). Sentinel-2 sen2cor: L2a processor for users. In *Proceedings Living Planet Symposium* (pp. 1-8). Spacebooks Online.
- 47) Lovelock, C. E.; Feller, I. C.; Ellis, J.; Schwarz, A. M.; Hancock, N.; Nichols, P. and Sorrell, B. (2007). Mangrove growth in New Zealand estuaries: the role of nutrient enrichment at sites with contrasting rates of sedimentation. *Oecologia*, 153(3), 633-641.
- 48) Lu, X., Cheng, X., Li, X., Chen, J., Sun, M., Ji, M., ... & Tang, J. (2018). Seasonal patterns of canopy photosynthesis captured by remotely sensed sun-induced fluorescence and vegetation indexes in mid-to-high latitude forests: A cross-platform comparison. *Science of the total environment*, 644, 439-451.
- 49) Macelloni, G.; Paloscia, S.; Pampaloni, P.; Marliani, F. and Gai, M. (2001). The relationship between the backscattering coefficient and the biomass of narrow and broad leaf crops. *IEEE Transactions on Geoscience and Remote Sensing*, 39(4): 873-884.
- 50) Miao, N.; Jiao, P.; Tao, W.; Li, M.; Li, Z.; Hu, B. and Moermond, T. C. (2020). Structural dynamics of *Populus euphratica* forests in different stages in the upper reaches of the Tarim River in China. *Scientific Reports*, 10(1): 3196.
- 51) Montesano, P. M.; Nelson, R.; Sun, G.; Margolis, H.; Kerber, A. and Ranson, K. J. (2009). MODIS tree cover validation for the circumpolar taiga-tundra transition zone. *Remote Sensing of Environment*, 113(10): 2130-2141.

- 52) Moran, M. S.; Vidal, A.; Troufleau, D.; Qi, J.; Clarke, T. R.; Pinter Jr, P. J.; ... and Neale, C. M. U. (1997). Combining multifrequency microwave and optical data for crop management. *Remote Sensing of Environment*, 61(1): 96-109.
- 53) Moran, M. S., Alonso, L., Moreno, J. F., Mateo, M. P. C., De La Cruz, D. F., & Montoro, A. (2011). A RADARSAT-2 quad-polarized time series for monitoring crop and soil conditions in Barrax, Spain. *IEEE Transactions on Geoscience and Remote Sensing*, 50(4), 1057-1070.
- 54) Murphy, P. G. and Lugo, A. E. (1986). Ecology of tropical dry forest. *Annual review of ecology and systematics*, 17(1): 67-88.
- 55) Naidoo, G. (2010). Ecophysiological differences between fringe and dwarf *Avicennia marina* mangroves. *Trees*, 24: 667-673.
- 56) Niphadkar, M.; Nagendra, H.; Tarantino, C.; Adamo, M. and Glenn, N. F. (2017). Comparing Pixel and Object-Based Approaches to Map an Understorey Invasive Shrub in Tropical Mixed Forests. 8(May), 1-18.
- 57) Pastor-Guzman, J.; Dash, J. and Atkinson, P. M. (2018). Remote sensing of mangrove forest phenology and its environmental drivers. *Remote sensing of environment*, 205: 71-84.
- 58) Piao, S.; Wang, X.; Park, T.; Chen, C.; Lian, X. U.; He, Y.; ... and Myneni, R. B. (2020). Characteristics, drivers and feedbacks of global greening. *Nature Reviews Earth & Environment*, 1(1); 14-27.
- 59) Potere, D. (2008). Horizontal positional accuracy of Google Earth's high-resolution imagery archive. *Sensors*, 8: 7973-7981.
- 60) Potter, C. S.; Klooster, S. A. and Brooks, V. (1999). Interannual variability in terrestrial net primary production: exploration of trends and controls on regional to global scales. *Ecosystems*, 2: 36-48.
- 61) Proisy, C.; Mougin, E.; Dufrêne, E.; Dantec, V.L. (2000). Monitoring seasonal changes of a mixed temperate forest using ERS SAR observations. *IEEE Trans. Geosci. Remote Sens.* 38, 540–552.
- 62) Qiao, K.; Zhu, W.; Xie, Z. and Li, P. (2019). Estimating the seasonal dynamics of the leaf area index using piecewise LAI-VI relationships based on phenophases. *Remote Sensing*, 11(6): 689.
- 63) Reich, P. B. and Borchert, R. (1984). Water stress and tree phenology in a tropical dry forest in the lowlands of Costa Rica. *The Journal of Ecology*, 61-74.
- 64) Richards, J.A. (2009). *Remote sensing with imaging radar*. New York, Springer.
- 65) Rocha, A. V. and Shaver, G. R. (2009). Advantages of a two band EVI calculated from solar and photosynthetically active radiation fluxes. *Agricultural and Forest Meteorology*, 149(9): 1560-1563.
- 66) Rüetschi, M.; Schaepman, M. E. and Small, D. (2018). Using multitemporal sentinel-1 c-band backscatter to monitor phenology and classify deciduous and coniferous forests in northern switzerland. *Remote Sensing*, 10(1): 55.
- 67) Saadat, M.; Hasanlou, M. and Homayouni, S. (2019). Rice Crop Mapping Using SENTINEL-1 Time Series Images (case Study: Mazandaran, Iran). *The International Archives of Photogrammetry, Remote Sensing and Spatial Information Sciences*, 42: 897-904.
- 68) Sabeti, H. (1355). *Forests, trees and shrubs of Iran*. Agricultural and Natural Resources Research Organization, p 810. (in Persian).
- 69) Savoy, P. and Mackay, D. S. (2015). Modeling the seasonal dynamics of leaf area index based on environmental constraints to canopy development. *Agricultural and Forest Meteorology*, 200: 46-56.
- 70) Schlund, M. and Erasmi, S. (2020). Remote Sensing of Environment Sentinel-1 time series data for monitoring the phenology of winter wheat. *Remote Sensing of Environment*, 246(March), 111814.
- 71) Song, C. and Woodcock, C. E. (2003). Monitoring forest succession with multitemporal Landsat images: Factors of uncertainty. *IEEE Transactions on Geoscience and Remote Sensing*, 41(11): 2557-2567.

- 72) Shimada, Masanobu; Takuya Itoh; Takeshi Motooka; Manabu Watanabe; Tomohiro Shiraishi; Rajesh Thapa; and Richard Lucas (2014). New Global Forest/Non-Forest Maps from ALOS PALSAR Data (2007-2010). *Remote Sensing of Environment*, 155: 13-31.
- 73) Standardi, L.; Karlsen, S. R.; Niedrist, G.; Gerdol, R.; Zebisch, M.; Rossi, M. and Notarnicola, C. (2019). Exploiting time series of Sentinel-1 and Sentinel-2 imagery to detect meadow phenology in mountain regions. *Remote Sensing*, 11(5): 542.
- 74) Thevs, Niels; Stefan Zerbe; Jan Peper; and Michael Succow (2008). Vegetation and Vegetation Dynamics in the Tarim River Floodplain of Continental-Arid Xinjiang, NW China. *Phytocoenologia*, 38(1-2): 65-84.
- 75) Tian, H.- Huang, N.- Niu, Z., Qin, Y.- Pei, J. and Wang, J. (2019). Mapping winter crops in China with multi-source satellite imagery and phenology-based algorithm. *Remote sensing*, 11(7): 820.
- 76) Torres, R.; Snoeij, P.; Geudtner, D.; Bibby, D.; Davidson, M.; Attema, E.; ... and Rostan, F. (2012). GMES Sentinel-1 mission. *Remote Sensing of Environment*, 120: 9-24.
- 77) Treshkin, S. Y. (2012). The Tugai Forests of Floodplain of the Amudarya River: Ecology, Dynamics and Their. Springer, 95.
- 78) Vavlas, N. C.; Waine, T. W.; Meersmans, J.; Burgess, P. J.; Fontanelli, G. and Richter, G. M. (2020). Deriving Wheat Crop Productivity Indicators Using Sentinel-1 Time Series. *Remote Sensing*, 12(15): 2385.
- 79) Venter, O.; Brodeur, N. N.; Nemiroff, L.; Belland, B.; Dolinsek, I. J. and Grant, J. W. (2006). Threats to endangered species in Canada. *Bioscience*, 56(11): 903-910.
- 80) Verbesselt, J., Hyndman, R., Newnham, G., & Culvenor, D. (2010). Remote Sensing of Environment Detecting trend and seasonal changes in satellite image time series. *Remote Sensing of Environment*, 114(1), 106–115.
- 81) Wang, J.; Xiao, X.; Bajgain, R.; Starks, P.; Steiner, J.; Doughty, R. B. and Chang, Q. (2019). Estimating leaf area index and aboveground biomass of grazing pastures using Sentinel-1, Sentinel-2 and Landsat images. *ISPRS Journal of Photogrammetry and Remote Sensing*, 154: 189-201.
- 82) Wang, C., Chen, J., Wu, J., Tang, Y., Shi, P., Black, T.A., Zhu, K. (2017). A snow-free vegetation index for improved monitoring of vegetation spring green-up date in deciduous ecosystems. *Remote Sens. Environ.* 196, 1–12.
- 83) Yang, W.; Kobayashi, H.; Wang, C.; Shen, M.; Chen, J.; Matsushita, B.; ... and Kondoh, A. (2019). A semi-analytical snow-free vegetation index for improving estimation of plant phenology in tundra and grassland ecosystems. *Remote Sensing of Environment*, 228: 31-44.
- 84) Yousefi, B. (2013). Collection, identification and morphological - phonological evaluation of Willows accessions at Kurdistan province of Iran. *Iranian Journal of Forest and Poplar Research*, 21(1): 184-202. (in Persian).
- 85) Zare Zadeh Mehrizi, T.; Khoshbakht, K.; Mahdavi Damghani, A. and Kambouzia, J. (2011). Studying Effects of Reduction in Tidal Flooding on the Structure of Mangrove Forests, A Case Study From Nayband Coastal National Park. *Environmental Sciences*, 8(4): 43-58. Retrieved from. (in Persian).
- 86) Zhang, M.; Lin, H.; Wang, G.; Sun, H. and Fu, J. (2018). Mapping paddy rice using a convolutional neural network (CNN) with Landsat 8 datasets in the Dongting Lake Area, China. *Remote Sensing*, 10(11): 1840.
- 87) Zheng, G.; Chen, J. M.; Tian, Q. J.; Ju, W. M. and Xia, X. Q. (2007). Combining remote sensing imagery and forest age inventory for biomass mapping. *Journal of Environmental Management*, 85(3): 616-623.